

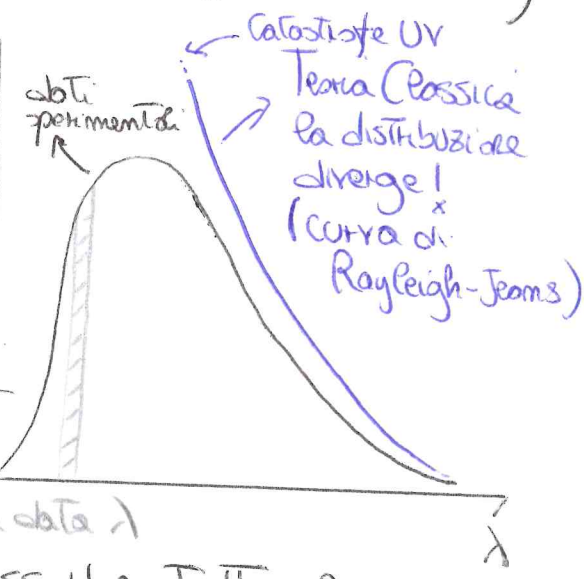
• Radiazione Termica: (Legge di Planck per corpo Nero)

Qualsiasi corpo ad una data Temperatura T emette radiazione elettromagnetica dovuta all'agitazione termica dei costituenti del corpo stesso.

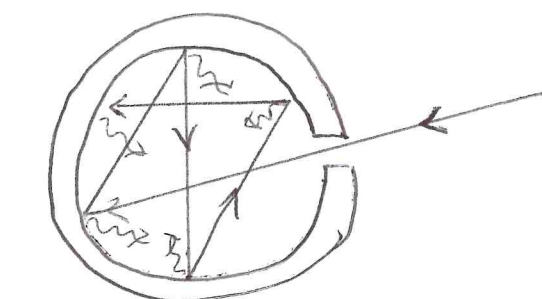
→ La spettro emesso oppure continuo, è ad crescere di T aumenta l'intensità emessa, così come è raro più delle frequenze emesse (e.g. un oggetto, o una fiamma, all'aumentare della T apparsa, prima rosse, poi blu e infine bianco)

→ Con una trattazione classica $E_\lambda = \frac{E_{\text{tot}}}{m^2 \lambda^3}$
non è possibile spiegare lo spettro delle lunghezze d'onda emesse da un corpo nero*

$$dI(\lambda) = E_\lambda d\lambda \quad \begin{matrix} \text{Rappresenta} \\ \text{l'energia emessa} \\ \times \text{u. di tempo} \in \text{ad una data } \lambda \end{matrix}$$

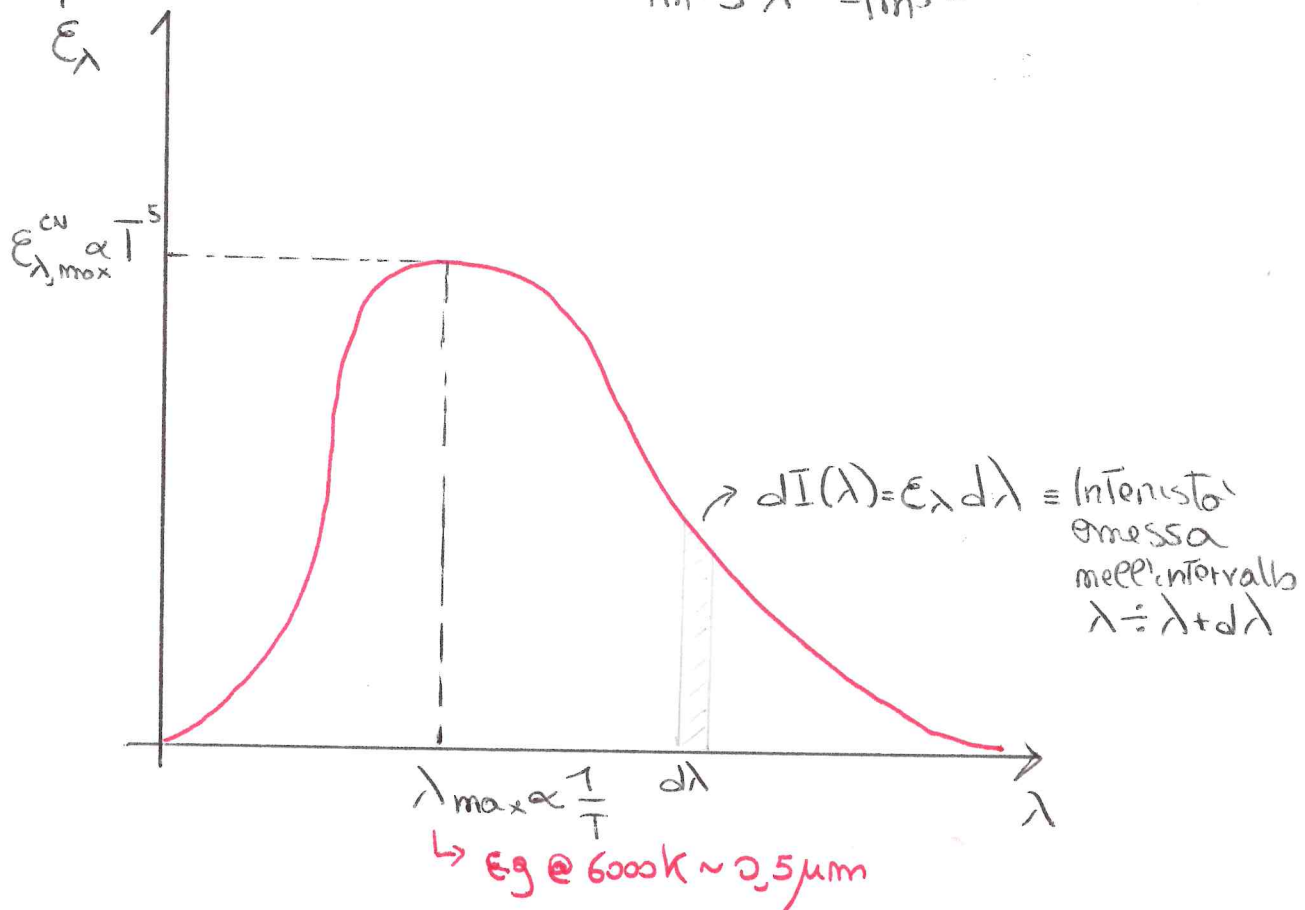


* Corpo nero: Sistema fisico ideale che assorbe tutta la radiazione che lo colpisce. Esso può essere approssimato con un piccolo foro sulla superficie di un oggetto cavo.



La luce che penetra nel foro colpisce le pareti della cavità venendo assorbita e riflessa. Le pareti re-radiano con una λ che dipende solo dalla T delle pareti della cavità.

$$\rightarrow \text{Potere emissivo specifico} = \frac{\text{Energia}}{\text{m}^2 \text{s}} \left[\frac{\text{W}}{\text{m}^3} \right]$$



Sperimentalmente si osserva per un corpo nero:

- Potere emissivo totale risulta:

$$E^{CN} = \underbrace{\int_0^{\infty} E_{\lambda}^{CN} d\lambda}_{\text{Area sotto la curva}} = \sigma T^4 \quad \begin{array}{l} \text{Quindi la potenza emessa dipende dai soli} \\ \text{dati} \end{array}$$

$$\sigma = 5,67 \cdot 10^{-8} \frac{\text{W}}{\text{m}^2 \text{K}^4}$$

legge di Stefan-Boltzmann

- La λ a cui si ha il massimo potere emissivo:

$$\lambda_{max} T = 2,8978 \cdot 10^{-3} \text{ m K} = 2,8978 \text{ mm K}$$

Prima
legge di
Wien

ovvero $\lambda_{max} \propto \frac{1}{T}$, quindi al crescere di T la curva si sposta verso sinistra (ovvero il picco si sposta a λ maggiori)

- Il massimo potere emissivo è:

$$\epsilon_{\lambda, \text{max}}^{\text{CN}} = a T^5 \quad a = 1,287 \cdot 10^{-5} \frac{\text{W}}{\text{m}^3 \text{K}^5}$$

Mutualmente
molto sensibile
alla Temperatura

Seconda
legge di
Wien

\Rightarrow Queste evidenze sperimentali Non possono essere spiegate con una trattazione classica; in particolare la cosiddetta catastrofe ultravisita è legata all'assunzione (classica) che gli atomi costituenti la cavità potessero assorbire ed emettere energia in modo continuo (nel senso di qualsiasi volle).

\Rightarrow Planck riuscì a spiegare i dati osservativi ipotizzando che gli atomi (assunti comportarsi come oscillatori) avessero energia quantificata.

Saremo che ogni oscillatore potesse assumere solo valori discreti di energia:

$$E_n = m h v = m h c / \lambda$$

frequenza oscillazione

Costante di Planck

$$h = 6,626 \cdot 10^{-34} \text{ J} \cdot \text{s}$$

Come nel modello classico

→ Partendo da questa assunzione Planck ha derivato la relazione:

Considerando una distribuzione di Boltzmann per le energie e l'equazione termica

$E_\lambda^{CN} = \frac{2\pi c^2 h}{\lambda^5} \frac{1}{e^{\frac{hc\lambda}{kT}} - 1}$

$E_V^{CN} = \frac{2\pi h}{c^2} \frac{V^3}{e^{\frac{hv}{kT}} - 1}$

legge di Planck (1900)

in quanto sono state derivate dalla meccanica classica! tuttavia una derivazione più rigorosa porta allo stesso risultato

→ Le varie leggi ed evidenze scientifiche sono facilmente derivabili dalla legge di Planck

(e.g. $\lambda_{MAX} = \lambda : \frac{dE_\lambda^{CN}}{d\lambda} \Big|_{\lambda} = 0$, $E_{\lambda_{MAX}}^{CN} = E_\lambda^{CN}(\lambda_{MAX})$,

 $E^{CN} = \int d\lambda E_\lambda^{CN}$)



È interessante notare che lo stesso concetto di quantizzazione applicato al modello atomico permette di spiegare la stabilità dell'atomo e lo spettro di emissione (spettri discreti) e di assorbimento.

→ Allora l'atomo può assorbire o emettere solo fotoni con un livello definito di energia multiplo di $h\nu$, pari ad un quantico. I due livelli energetici.

Note: la radiazione termica è omogenea dovuta ad emissioni atomiche, ma nella materia condensata, l'interazione tra atomi fa aumentare il numero e la densità di stati quantici: le righe spettrali sono così fatte da opporre continui!

→ Le stelle, con ottima approssimazione, emettono un spettro di corpo nero: le uniche onde e.m. non assorbite sono quelle con $\lambda \sim R_{\odot}$, e gli atomi (o meglio atmosfera solare) sulla superficie emettono per agitazione termica.

→ Anche i pianeti emettono una radiazione che con buona approssimazione è rappresentata da un corpo nero: la radiazione proveniente dal sole viene parzialmente assorbita dai pianeti i quali, se rientrano a equilibrio termico (e.g. la Terra ha un'emissione planckiana di 300K)

→ L'esempio più preciso di corpo nero trovato in natura è quello della radiazione cosmica di fondo (CMB); scoperta casualmente nel '65 dagli ingegneri della Bell, Arno Penzias e Robert Wilson, essa rappresenta la radiazione termica, emessa dopo il disaccoppiamento fra materia e radiazione (ca 100.000 anni dopo il Big Bang), che ci raggiunge da ogni direzione dell'universo. A seguito dell'espansione dell'universo, la temperatura attuale del CMB è di 2.725 K^* .

• Effetto Photoelectrics - Natura corpuscolare della luce

→ Sperimentalmente si osserva che un metallo emette e⁻ se illuminato con onda e.m.

In particolare:

- La luce incidente deve avere una $V > V_0$ (frequenza di soglia) perché ci sia emissione di e⁻.
- Sotto soglia, $V < V_0$, qualunque sia l'intensità delle radiazioni incidenti, non c'è emissione.
- Per $V > V_0$, l'emissione di e⁻ è praticamente istantanea indipendentemente dall'intensità delle radiazioni

→ Queste proprietà, non spiegabili con una trattazione classica della radiazione e.m.

(cioè un campo E che cede energia all'e⁻ per estrarre), furono spiegate da Einstein nel 1905 estendendo l'ipotesi di Planck:

a) La radiazione e.m. è composta da quanti di energia, ϵ_{hv} , detti fotoni.

b) nell'interazione radiazione-materia, un e⁻ può assorbire 1 solo fotone.

Quindi emissione può avvenire solo se $\hbar v > W_e$, con W_e energia minima da fornire all'e⁻ per rompere le sue legami con il metallo

lavoro
estrazione
e⁻

→ Il successo della Teoria di Einstein porta ad assegnare alla radiazione e.m. una natura (o proprietà) corpuscolare: La radiazione viene rappresentata con un flusso di fotoni, ognuno con energia $E=h\nu$, e velocità c (nel vuoto), e dunque massa nulla.

$$\rightarrow \text{Ne segue che la q.d.m.: } \bar{P} = \frac{U}{c} = \frac{h\nu}{c} = \frac{h}{\lambda} \quad | \quad \begin{array}{l} \text{Coincide con} \\ \text{la q.d.m.} \\ \text{trasportata} \\ \text{da un'onda EM!} \end{array}$$

\downarrow

dalla Rep. Ristretta

$I = N h \nu$

→ La natura corpuscolare della radiazione è tanto più evidente quanto più è elevata l'energia del singolo fotone (e.g. raggi X e γ natura corpuscolare predominante)

→ Il dualismo onda-corpuscolo non si limita alla radiazione, ma anche alla materia. Ad una particella di massa m possiamo quindi associare

$$\left\{ \begin{array}{l} \lambda = h/p \\ V = U/h \end{array} \right. \quad (\text{Relazione di de Broglie 1924})$$

→ ovvero ad una particella in moto possiamo associare un pacchetto d'onde

→ Sperimentalmente si osservano infatti i fenomeni ondulatori (figure di diffrazione) anche per particelle come l'elettrone o il neutrone e protone. (a bassa energia)

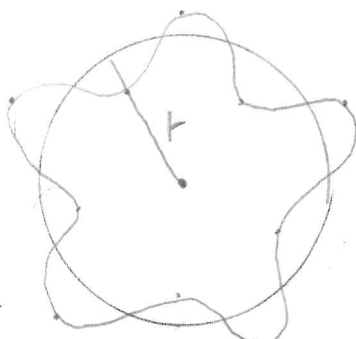
→ Oggetti macroscopici non evidenziano la loro natura ondulatoria in quanto la lunghezza d'onda a loro associata è troppo piccola. E.g. una palla da baseball

$$, m = 140 \text{ g}, v = 27 \text{ m/s} \Rightarrow \lambda = \frac{h}{p} = \frac{6,63 \cdot 10^{-34} \text{ Js}}{0,14 \text{ kg} \cdot 27 \text{ m/s}} \approx 1,7 \cdot 10^{-34} \text{ m}$$

⇒ Non esistono particelle elementari così piccole da diffondere una lunghezza d'onda tanto piccola!

→ È interessante applicare questo principio ad un e⁻ con ~~una~~ orbita ^{stazionaria} circolare intorno al nucleo. Se pensiamo all'^{e-} come ad un atomo stazionario, la lunghezza dell'orbita deve essere uguale ad un multiplo della lunghezza d'atomo:

$$m\lambda = 2\pi r \Rightarrow m \frac{\lambda}{p} = 2\pi r \Rightarrow pr = L = m \frac{R}{2\pi}$$



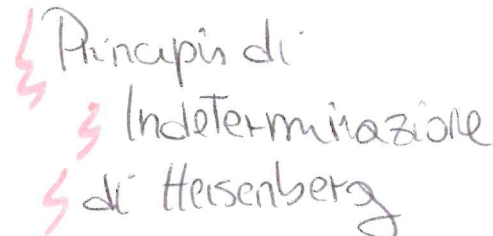
Il momento angolare risulta quantizzato!

→ Si noti che sia nel caso della fotodissione che nel caso di una particella, certi fenomeni possono solo essere spiegati ricorrendo al concetto di onda o corpuscolo; però, per un dato fenomeno/esperimento è possibile mettere in evidenza uno solo dei due aspetti!
 Questo aspetto è trasmesso dal PRINCIPIO DI COMPLEMENTARIETÀ di Bohr: gli aspetti corpuscolare e/o ondulatorio sono complementari - non appena si mette in evidenza un aspetto l'altro non è più osservabile contemporaneamente.

→ La natura ondulatoria di una particella implica un irriducibile incertezza sulla precisione con cui c'è possibile determinare due variabili "coniate":

$$\Delta x \Delta p \geq \frac{\hbar}{2\pi} = \frac{\hbar}{2}$$

at $\Delta v \geq \frac{\hbar}{2}$


 Principi di
Indeterminazione
di Heisenberg

Nota: Non si tratta di una limitazione strumentale, ma di un effetto intrinseco alla misura, che deriva dalla natura ondulatoria della materia